

第七章 数字通带传输

数字调制是把数字符号转换成适合于信道特征的波形。在第六章数字基带传输中，数字波形采用成型脉冲形式传输，而在通带传输中，还需要用这些成型脉冲序列去调制载波。

与模拟调制一样，在数字通带传输中成型脉冲序列可以被用来调制载波幅度、频率和相位，分别称为数字调幅、数字调频和数字调相。

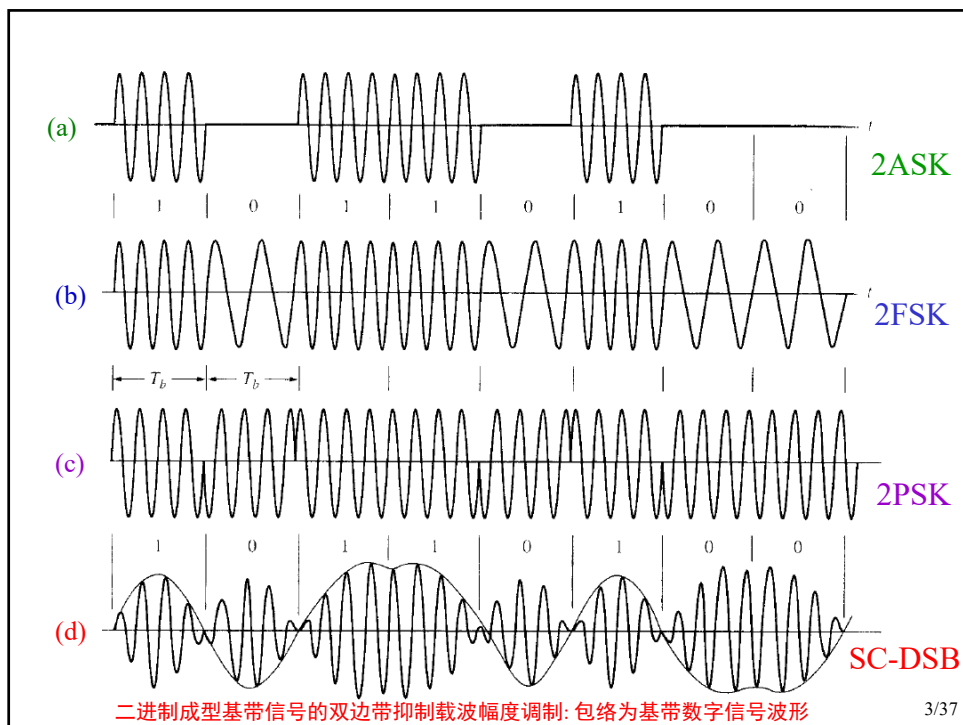
在本章中我们对各种数字通带传输系统，研究相应已调信号的时域表示和功率谱，调制和解调实现方式，以及误码率计算。

§ 7.1 连续波数字调制

数字基带波形可用来调制正弦波的幅度、频率和相位。如果基带波形的基本脉冲是不归零（NRZ）方波脉冲，则这些被调制参数，如幅度、频率和相位是按数据值进行切换，或称为键控。

如图所示的二进制幅度偏移键控（2ASK），二进制频率偏移键控（2FSK）和二进制相位偏移键控（2PSK）。图中（d）也示出二进制成型基带信号的双边带抑制载波幅度调制。

在本节我们介绍基本数字连续波调制的数学模型（发送机方框图），介绍它们的功率谱和带宽要求。



7.1.1 正弦波数字调制信号的谱分析

正弦数字连续波调制信号的基本表示式为:

$$s(t) = A(t) \cos[2\pi f_c t + \Phi(t) + \theta]$$

$$= x(t) \cos(2\pi f_c t + \theta) - y(t) \sin(2\pi f_c t + \theta)$$

其中 $x(t) = A(t) \cos \Phi(t)$

$$y(t) = A(t) \sin \Phi(t)$$

其中 $x(t)$ 和 $y(t)$ 分别称为是**同相和正交基带信号分量**, θ 是一个均匀分布的随机变量。 $s(t)$ 的相关函数为

$$R_s(t_1, t_2) = \frac{1}{2} \{ R_x(t_1, t_2) + R_y(t_1, t_2) \} \cos[2\pi f_c(t_1 - t_2)] -$$

$$\frac{1}{2} \{ R_{xy}(t_1, t_2) + R_{yx}(t_1, t_2) \} \sin[2\pi f_c(t_1 - t_2)]$$

- 平稳随机过程指它的任何 n 维分布函数与时间起点无关——严平稳过程
- 均值、方差为常数，自相关函数只和时间差 τ 有关——广义平稳过程
- 一个时间连续的二阶矩随机过程被称为是周期为 T 的广义循环平稳过程是指它的均值过程和自相关函数均是 t 的周期为 T 的周期函数——广义循环平稳过程

如果 $x(t)$ 和 $y(t)$ 是平稳（或循环平稳）， $x(t)$ 和 $y(t)$ 不相关，而且 $E[x(t)] \times E[y(t)] = 0$ ，则相关函数中交叉相关项等于零，

$$R_S(\tau) = \frac{1}{2} \{R_X(\tau) + R_Y(\tau)\} \cos 2\pi f_c \tau \quad \tau = t_1 - t_2$$

$$\text{功率谱: } P_S(f) = \frac{1}{4} \{P_X(f - f_c) + P_X(f + f_c) + P_Y(f - f_c) + P_Y(f + f_c)\}$$

如果记 $P_p(f) = P_X(f) + P_Y(f)$

则 $P_S(f) = \frac{1}{4} \{P_p(f - f_c) + P_p(f + f_c)\}$

5/37

7.1.2 连续波数字幅度调制方式 (ASK)

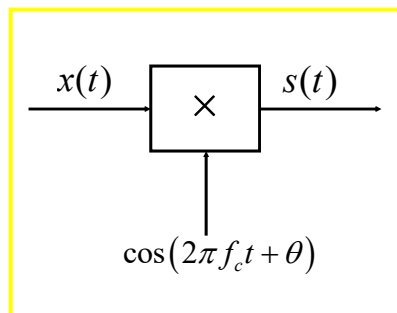
两电平的ASK如图7.1.1 (a) 所示。2ASK波形可以通过让载波通、断来产生，这种二进制通断调制方式也称为OOK (on-off Keying)。一般 M 进制ASK信号包含了“ $M-1$ ”种不同的“通”幅度电平和一种“断”电平。在这 M 进制ASK调制中，信号波形序列表示为：

$$s(t) = x(t) \cos(2\pi f_c t + \theta)$$

$$x(t) = \sum_{n=-\infty}^{\infty} a_n g_T(t - nT)$$

$$a_n \in \{0, 1, \dots, M-1\}$$

$$g_T(t) = \begin{cases} A & 0 \leq t \leq T \\ 0 & \text{其它} \end{cases}$$



6/37

若 a_n 是等概分布的, 则 (6.1.13) 由自相关函数的傅里叶变换而来

$$m_a = E[a_n] = \frac{M-1}{2}, \quad \sigma_a^2 = E[a_n^2] - m_a^2 = \frac{M^2-1}{12}$$

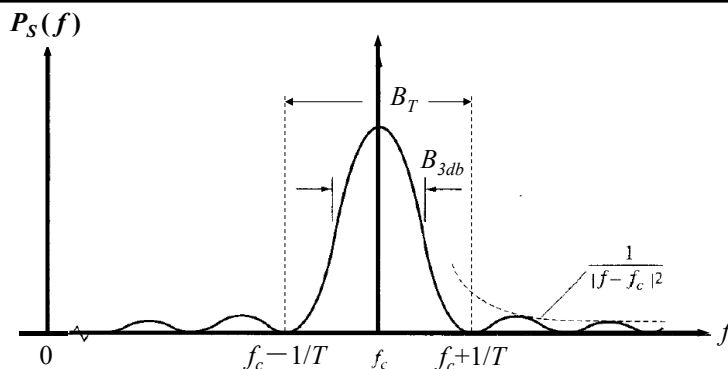
$$P_{lp}(f) = P_x(f) = \frac{\sigma_a^2}{T} |G_T(f)|^2 + \frac{m_a^2}{T^2} \sum_{n=-\infty}^{\infty} \left| G_T\left(\frac{n}{T}\right) \right|^2 \delta\left(f - \frac{n}{T}\right)$$

其中 $G_T(f) = AT \frac{\sin(\pi T f)}{\pi T f}$

所以 $P_{lp}(f) = \frac{M^2-1}{12} A^2 T \left| \frac{\sin(\pi T f)}{\pi T f} \right|^2 + \left(\frac{M-1}{2} \right)^2 \cdot A^2 \delta(f)$

$$P_s(f) = \frac{M^2-1}{48} A^2 T \left\{ \left| \frac{\sin \pi T (f-f_c)}{\pi T (f-f_c)} \right|^2 + \left| \frac{\sin \pi T (f+f_c)}{\pi T (f+f_c)} \right|^2 \right\} + \left(\frac{M-1}{4} \right)^2 A^2 \cdot \{ \delta(f-f_c) + \delta(f+f_c) \}$$

7/37



所以ASK信号的3dB带宽约为 $B_{3dB} = 1/T$, 主瓣带宽约为 $B_T = 2/T$
带外功率按 $|f - f_c|^{-2}$ 衰减。

在M进制ASK传输中, 符号率 $R_B = 1/T$, 比特率为

$$R_b = R_B \cdot \log_2 M = \frac{\log_2 M}{T} \quad (\text{bps})$$

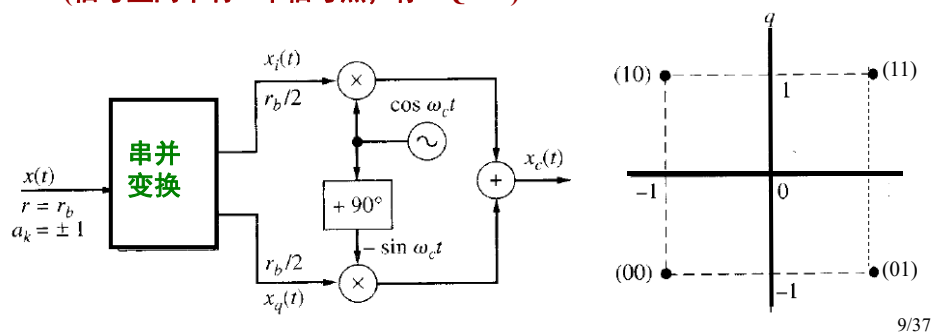
频谱利用效率为 $\eta = \frac{R_b}{B_T} = 0.5 \log_2 M$ (bps/Hz) (按主瓣带宽算)

8/37

7.1.3 正交载波幅度调制 (QAM)

$\cos(2\pi f_c t)$ 和 $\sin(2\pi f_c t)$ 是二个相互正交的载波，可以用二路独立的基带数字波形分别去调制这二个正交载波的幅度，然后把它们复合起来一起传输。在接收端可以用正交载波把两路基带数字波形分离开(见图2.1.6)，这就是正交复用的概念。利用正交复用可以提高频谱利用效率。这种调制方式称为正交载波幅度调制。

(信号空间中有M个信号点，称MQAM)



9/37

数据在串并变换后，得到二路数据 $\{I_k\}$ 和 $\{Q_k\}$ ，这时上、下二个支路中的一对数字 (I_k, Q_k) 组成一个符号，数据假定是双极性，即

$$I_k, Q_k = \left(m - \frac{N+1}{2} \right), \quad m = 1, 2, 3, \dots, N; \quad M = N^2$$

$$x(t) = \sum_{k=-\infty}^{\infty} I_k g_T(t - kt)$$

$$y(t) = \sum_{k=-\infty}^{\infty} Q_k g_T(t - kt)$$

由于 $x(t)$ 和 $y(t)$ 是相互独立的、零均值基带信号分量

$$P_{lp}(f) = P_X(f) + P_Y(f)$$

显然 $x(t)$ 和 $y(t)$ 的功率谱相同，所以

$$P_{lp}(f) = 2P_X(f)$$

MQAM

2维
MASK

10/37

$$m_a=0$$

$$E[I_k] = E[Q_k] = 0, \quad \sigma_I^2 = \sigma_Q^2 = \left(\frac{N^2 - 1}{12} \right)$$

$$\text{所以 } P_p(f) = \frac{2\sigma_I^2}{T} |G_T(f)|^2 = 2\sigma_I^2 A^2 T \left| \frac{\sin \pi T f}{\pi T f} \right|^2$$

$$p_s(f) = \frac{N^2 - 1}{24} A^2 T \left\{ \left| \frac{\sin \pi T (f - f_c)}{\pi T (f - f_c)} \right|^2 + \left| \frac{\sin \pi T (f + f_c)}{\pi T (f + f_c)} \right|^2 \right\}$$

与ASK相比，少了载频上的离散谱线。对于正交两个支路上都是N

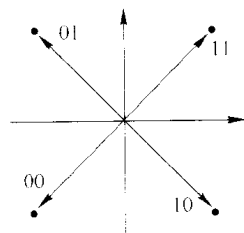
进制的QAM传输， $M=N^2$ ，符号率为 $R_b = 1/T$ ，比特率为

$$R_b = R_B \cdot \log_2 M = \frac{2 \log_2 N}{T} \quad (\text{bps}),$$

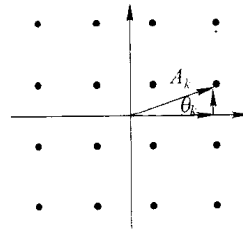
信号的主瓣带宽仍为 $B_T = 2/T$ ，带外功率按 $|f - f_c|^{-2}$ 衰减。

频谱利用效率为， $\eta = \frac{R_b}{B_T} = 0.5 \log_2 M = \log_2 N \quad (\text{bps/Hz})$

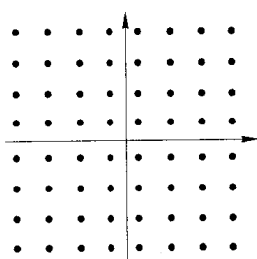
11/37



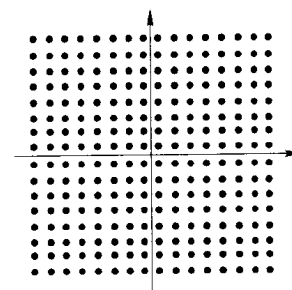
(a) 4QAM信号矢量图



(b) 16QAM信号矢量图

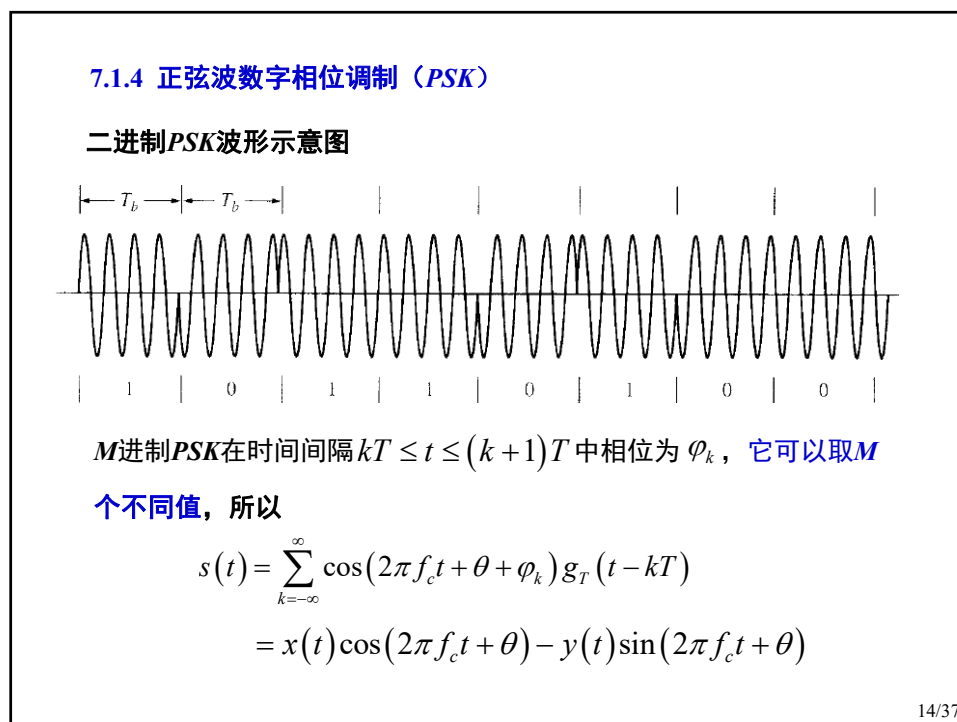
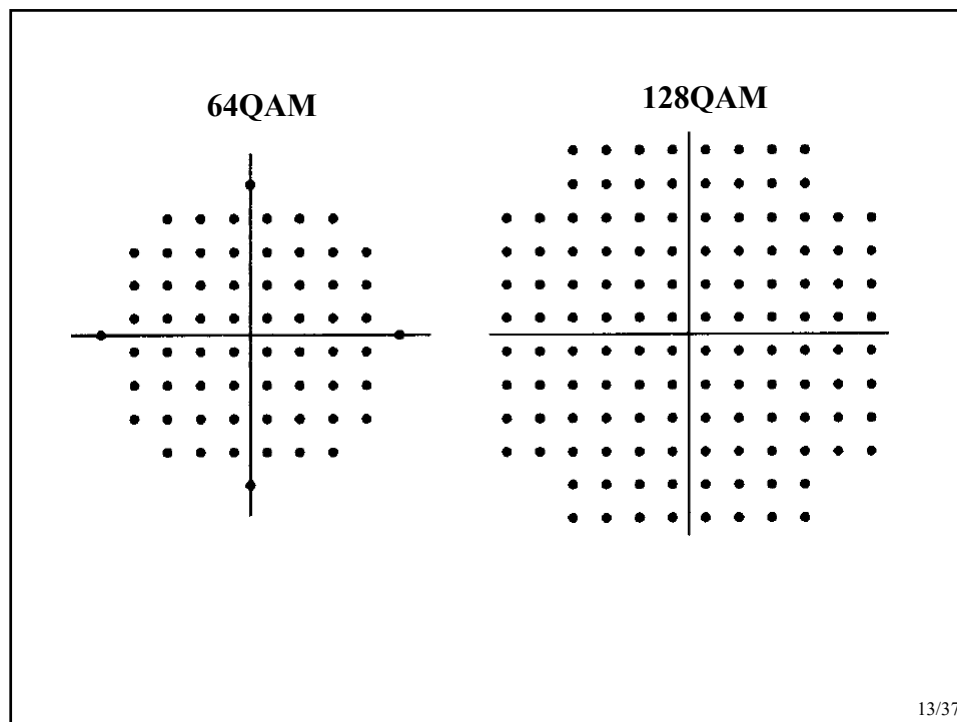


(c) 64QAM信号矢量图



(d) 256QAM信号矢量图

12/37



其中

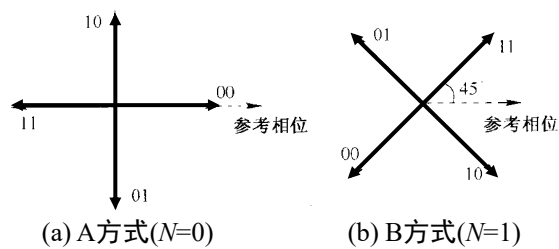
$$x(t) = \sum_{k=-\infty}^{\infty} I_k g_T(t - kT), \quad y(t) = \sum_{k=-\infty}^{\infty} Q_k g_T(t - kT)$$

$$I_k = \cos \varphi_k, \quad Q_k = \sin \varphi_k$$

$$g_T(t) = \begin{cases} A & 0 \leq t < T \\ 0 & \text{其它} \end{cases}$$

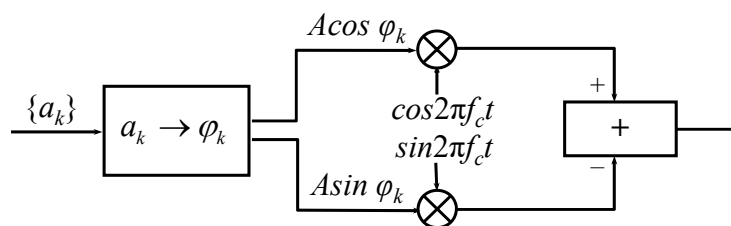
$$\varphi_k = \pi(2a_k + N) / M, \quad a_k = 0, 1, \dots, M-1$$

其中 $N=0$ 或 1 。当 $N=0$ 时，这 M 个相位角从 0 开始均匀分布在单位圆上，当 $N=1$ 时相位角从 π/M 开始均匀分布在单位圆上。

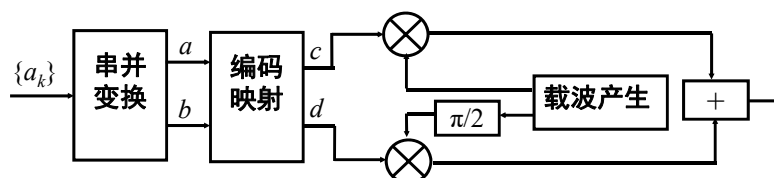


15/37

MPSK信号产生的原理方框图



对于 $M=4$ 的QPSK调制器的原理方框图



对两路正交载波进行对称幅度调制
编码映射如下表：

16/37

表 7.1.1 QPSK 编码映射

a	b	N=0		N=1	
		(c, d)	φ_k	(c, d)	φ_k
0	0	(1, 0)	0°	$(1,1)/\sqrt{2}$	45°
1	0	(0, 1)	90°	$(-1,1)/\sqrt{2}$	135°
1	1	(-1, 0)	180°	$(-1,-1)/\sqrt{2}$	225°
0	1	(0, -1)	270°	$(1,-1)/\sqrt{2}$	315°

采用了Gray编码，即相邻的信号点仅差一个比特。

17/37

PSK信号功率谱分析与QAM情况一样：

$$E[I_k] = E[Q_k] = 0, \quad E[I_k^2] = E[Q_k^2] = \frac{1}{2}$$

$$P_p(f) = 2P_X(f) = A^2 T \left| \frac{\sin \pi T f}{\pi T f} \right|^2$$

$$P_s(f) = \frac{A^2 T}{4} \left\{ \left| \frac{\sin \pi T (f - f_c)}{\pi T (f - f_c)} \right|^2 + \left| \frac{\sin \pi T (f + f_c)}{\pi T (f + f_c)} \right|^2 \right\}$$

M进制PSK的带宽要求 $B_T = 2/T$ ，频谱利用率为

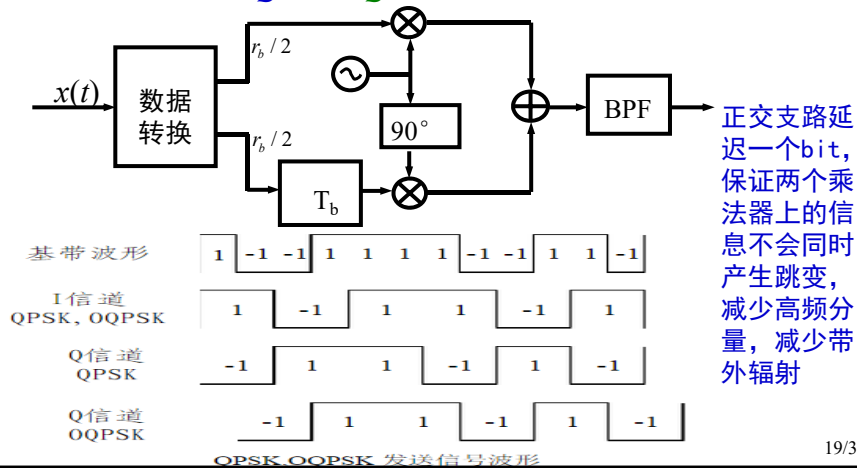
$$\eta = 0.5 \log_2 M \text{ bps/Hz}$$

功率谱只有连续谱部分
频谱利用率与ASK相同
带外衰减与ASK也相同

18/37

PSK信号是恒包络信号，因此发射机功率放大器的非线性对它影响不大，有利于提高功放的效率，但是我们也看到PSK信号功率谱的带外漏泄还是比较大的，所以需要带通滤波器加以控制，带通滤波器会破坏PSK信号的恒包络特性。

还有许多其它的数字相位调制方式，例如对 $M=4$ 的QPSK调制加以改进，可以得到参差移相键控调制OQPSK。OQPSK调制器如图



19/37

7.1.5 正弦波差分相位偏移键控调制 (DPSK)

在PSK调制中，数据信息包含在载波相位中，需要采用相干解调方式恢复数据。因此要求接收机提供与收到信号载波同频、同相的本地正弦信号。

由于PSK频谱中不含有载波频率分量，所以在接收端恢复载波相位时，一般先通过非线性变换，产生载频的倍频分量，用锁相环路跟踪这个倍频分量，再分频获得相干载频。这个过程会产生 $2\pi/M$ 的整数倍相位不确定。两个方法可以消除相位模糊：

- (1) 通过前导字训练序列来消除这种不确定性；
- (2) 采用差分移相键控调制 DPSK。在DPSK中利用前后符号的相位差来传输数据信息。

20/37

M 进制DPSK中发送信号为

$$s(t) = \sum_{k=-\infty}^{\infty} \cos[2\pi f_c t + \theta_{k-1} + \Delta\varphi_k] g_T(t - kT)$$

其中 $\theta_k = \theta_{k-1} + \Delta\varphi_k$ 是第 k 个码源的相位

其中前后时刻码源相位差

$$\Delta\varphi_k = \frac{\pi}{M}(2a_k + N), \quad a_k = 0, 1, 2, \dots, M-1, \quad N = 0, 1$$

从波形上看PSK和DPSK是不可区分的，它们的功率谱也是相同的。

例如对 $M=2$ ， $N=0$ ，则

$$\Delta\varphi_k = 0 \quad \text{发送“0”}$$

$$\Delta\varphi_k = \pi \quad \text{发送“1”}$$

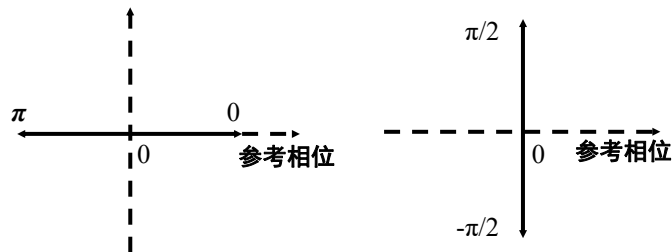
例如对 $M=2$ ， $N=1$ ，则

$$\Delta\varphi_k = \pi/2 \quad \text{发送“0”}$$

$$\Delta\varphi_k = -\pi/2 \quad \text{发送“1”}$$

这种方式可以避免同一个相位连续不变化

21/37



(a) A方式($N=0$)

(b) B方式($N=1$)

$M=2$ ，A方式举例：

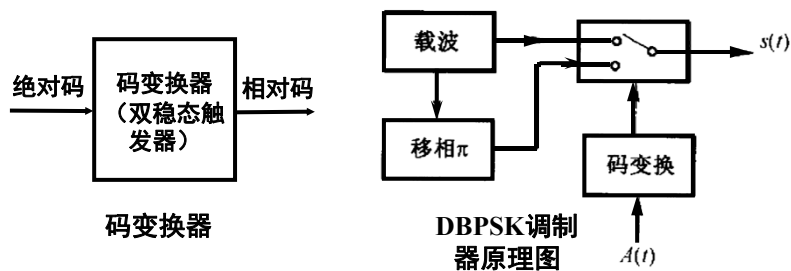
发送序列	0 0 1 1 1 0 0 1 0 1 ... 0 0 1 1 1 0 0 1 0 1 ...
$\Delta\varphi$	0 0 π π π 0 0 π 0 π ... 0 0 π π π 0 0 π 0 π ...
初相	0 π
绝对相位 ($\theta_n = \theta_{n-1} + \Delta\varphi$)	0 0 π 0 π π π 0 0 π ... π π 0 π 0 0 0 π π 0 ...

22/37

在2DPSK信号产生过程中，我们先对原来待传输的数据序列进行差分编码，再把差分编码的序列去进行2PSK调制。设 $\{a_n\}$ 为原始数据序列， $\{b_n\}$ 是差分编码后序列，

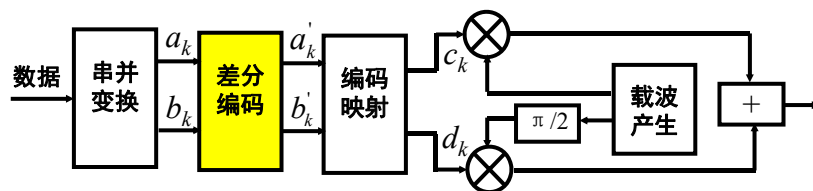
差分编码器： $b_n = b_{n-1} \oplus a_n$ **差分译码器：** $b_{n-1} \oplus b_n = a_n$

a_n (绝对码)		1	1	0	1	0	1	1	0	0	0	...
b_n (相对码)	(0)	1	0	0	1	1	0	1	1	1	1	...
2PSK 调制	(0)	π	0	0	π	π	0	π	π	π	π	...



23/37

多进制DPSK，例如对DQPSK调制，也可以先经过差分编码器，把绝对码变换成相对码，再用相对码进行QPSK调制。



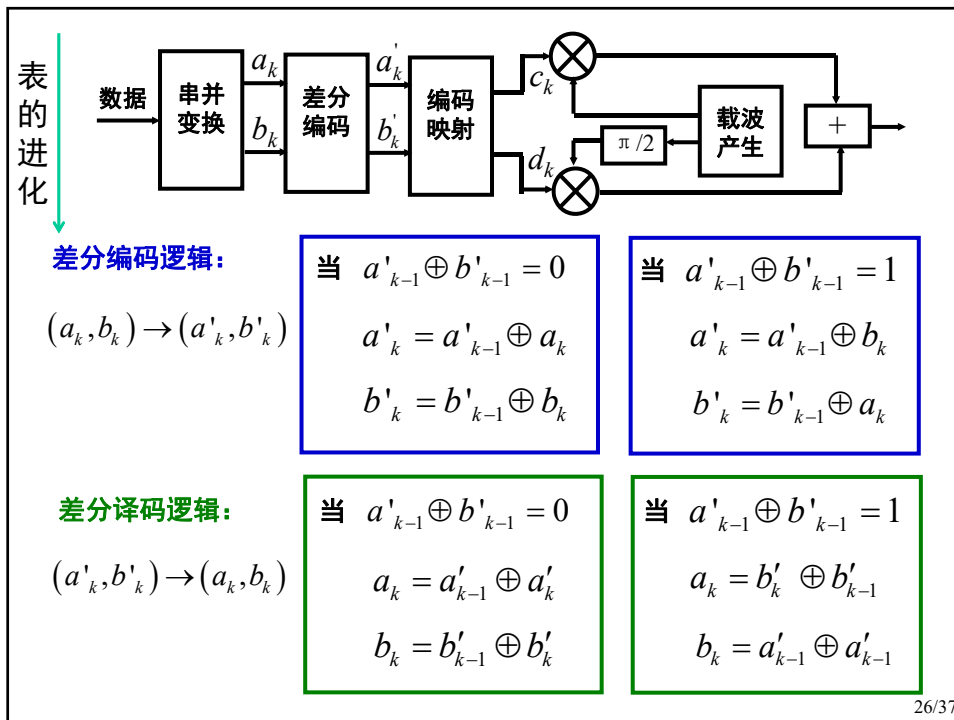
差分编码真值表 $(a_k, b_k) \rightarrow (a'_k, b'_k)$

绝对码及相对相位		前一时刻相对码及相位		当前时刻相对码及相位	
(a_k, b_k)	$\Delta\varphi_k$	(a'_{k-1}, b'_{k-1})	φ_{k-1}	(a'_k, b'_k)	φ_k
(0, 0)	0°	(0, 0)	0°	(0, 0)	0°
		(1, 0)	90°	(1, 0)	90°
		(1, 1)	180°	(1, 1)	180°
		(0, 1)	270°	(0, 1)	270°

24/37

(1, 0)	90°	(0, 0)	0°	(1, 0)	90°
		(1, 0)	90°	(1, 1)	180°
		(1, 1)	180°	(0, 1)	270°
		(0, 1)	270°	(0, 0)	0°
(1, 1)	180°	(0, 0)	0°	(1, 1)	180°
		(1, 0)	90°	(0, 1)	270°
		(1, 1)	180°	(0, 0)	0°
		(0, 1)	270°	(1, 0)	90°
(0, 1)	270°	(0, 0)	0°	(0, 1)	270°
		(1, 0)	90°	(0, 0)	0°
		(1, 1)	180°	(1, 0)	90°
		(0, 1)	270°	(1, 1)	180°

25/37



26/37

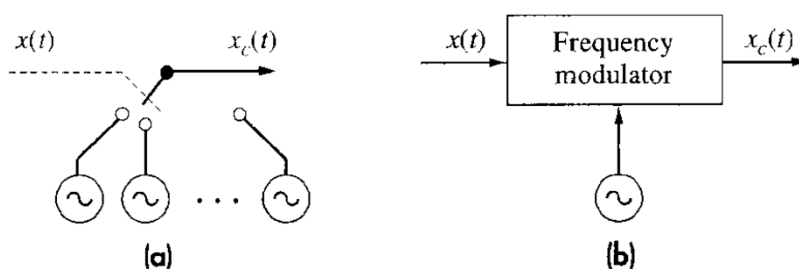
7.1.6 正弦波数字频率调制

有两种数字频率调制产生方式，

(a) 不同频率源在 $t = kT$ 时刻，由选择开关切换，相位一般不连续的；

(b) 采用频率调制电路产生的是相位连续的FSK (称为CPFSK)；

两种情况的功率谱都不好求，只能对一些特殊情况计算它们的功率谱。



27/37

考虑2FSK信号

$$s(t) = \sum_{n=-\infty}^{\infty} \cos[2\pi f_c t + \theta + 2\pi a_n \cdot \Delta f t] g_T(t - nT)$$

其中 $a_n \in \{0, 1\}$ ， Δf 表示数据“0”和数据“1”对应信号的频率差；

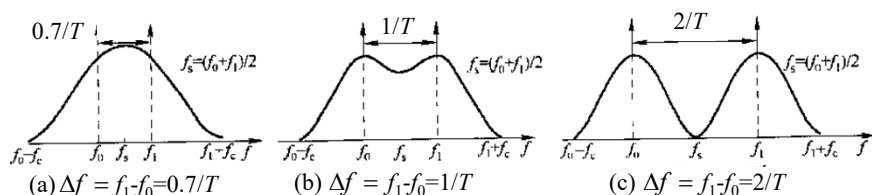
$$s(t) = \sum_{n=-\infty}^{\infty} \bar{a}_n g_T(t - nT) \cos(2\pi f_c t + \theta) + \sum_{n=-\infty}^{\infty} a_n g_T(t - nT) \cos[2\pi(f_c + \Delta f)t + \theta]$$

如果 $P\{a_n = 0\} = P\{a_n = 1\} = 0.5$

$$P_S(f) = \frac{1}{16} A^2 T \left\{ \left| \frac{\sin \pi T(f - f_c)}{\pi T(f - f_c)} \right|^2 + \left| \frac{\sin \pi T(f + f_c)}{\pi T(f + f_c)} \right|^2 + \left| \frac{\sin \pi T(f - f_c - \Delta f)}{\pi T(f - f_c - \Delta f)} \right|^2 + \left| \frac{\sin \pi T(f + f_c + \Delta f)}{\pi T(f + f_c + \Delta f)} \right|^2 \right\} + \frac{A^2}{16} \{ \delta(f - f_c) + \delta(f + f_c) + \delta(f - f_c - \Delta f) + \delta(f + f_c + \Delta f) \}$$

2个ASK之和

28/37



对于M进制等频率间隔 Δf 的MFSK可以认为是M个2ASK信号的组合，它们要求的带宽等于 $B_T = (M-1)\Delta f + \frac{2}{T}$

因此MFSK信号的频谱利用效率为：

$$\eta = R_b / B_T = \frac{\log_2 M}{T} \left/ \left[(M-1)\Delta f + \frac{2}{T} \right] \right.$$

如果取 $\Delta f = 1/2T$ ， $\eta = 2 \log_2 M / (M+3)$ **相干正交FSK**

当M>2时，MFSK频谱效率就低于MPSK和MASK。

如果取 $\Delta f = 1/T$ ， $\eta = \log_2 M / (M+1)$ **非相干正交FSK**

29/37

从上面功率谱可见，FSK的功率谱在带外按 $|f - f_c|^{-2}$ 衰减。

下面分析可见，如果相位连续变化，可以使带外按 $|f - f_c|^{-4}$ 衰减。

当 $2\pi\Delta f T = 2\pi$ 时，2FSK信号则在 $t=kT$ 处信号相位连续，

$$\begin{aligned} s(t) &= \sum_{n=-\infty}^{\infty} \cos[2\pi f_c t + \theta + 2\pi a_n \cdot \Delta f t] g_T(t-nT) \\ \text{连续相位FSK (CPFSK)} \quad &= \sum_{n=-\infty}^{\infty} \cos\left[2\pi\left(f_c + \frac{\Delta f}{2}\right)t + 2\pi \frac{2a_n - 1}{2} \Delta f t\right] g_T(t-nT) \end{aligned}$$

记 $b_n = (2a_n - 1)$ ， $b_n = \pm 1$

$$\begin{aligned} s(t) &= \sum_{n=-\infty}^{\infty} \cos\left[2\pi\left(f_c + \frac{\Delta f}{2}\right)t + 2\pi b_n \cdot \frac{\Delta f}{2} t\right] g_T(t-nT) \\ &= x(t) \cos\left[2\pi\left(f_c + \frac{\Delta f}{2}\right)t\right] - y(t) \sin\left[2\pi\left(f_c + \frac{\Delta f}{2}\right)t\right] \end{aligned}$$

30/37

其中

$$\begin{aligned}
 x(t) &= \sum_{n=-\infty}^{\infty} \cos\left(2\pi b_n \cdot \frac{\Delta f}{2} t\right) \cdot g_T(t-nT) \\
 &= \sum_{n=-\infty}^{\infty} \cos(\pi \Delta f t) \cdot g_T(t-nT) \\
 &= \cos(\pi \Delta f t) \\
 y(t) &= \sum_{n=-\infty}^{\infty} \sin\left(2\pi b_n \cdot \frac{\Delta f}{2} t\right) \cdot g_T(t-nT) \\
 &= \sum_{n=-\infty}^{\infty} b_n \sin(\pi \Delta f t) \cdot g_T(t-nT) \\
 &= \sum_{n=-\infty}^{\infty} Q_n \sin[\pi \Delta f (t-nT)] \cdot g_T(t-nT) \\
 &= \sum_{n=-\infty}^{\infty} Q_n h(t-nT) \\
 Q_n &= (-1)^n b_n, \quad h(t) = \sin(\pi \Delta f t) \cdot g_T(t)
 \end{aligned}$$

31/37

由于 $E[Q_n] = 0$, $E[Q_n^2] = 1$,

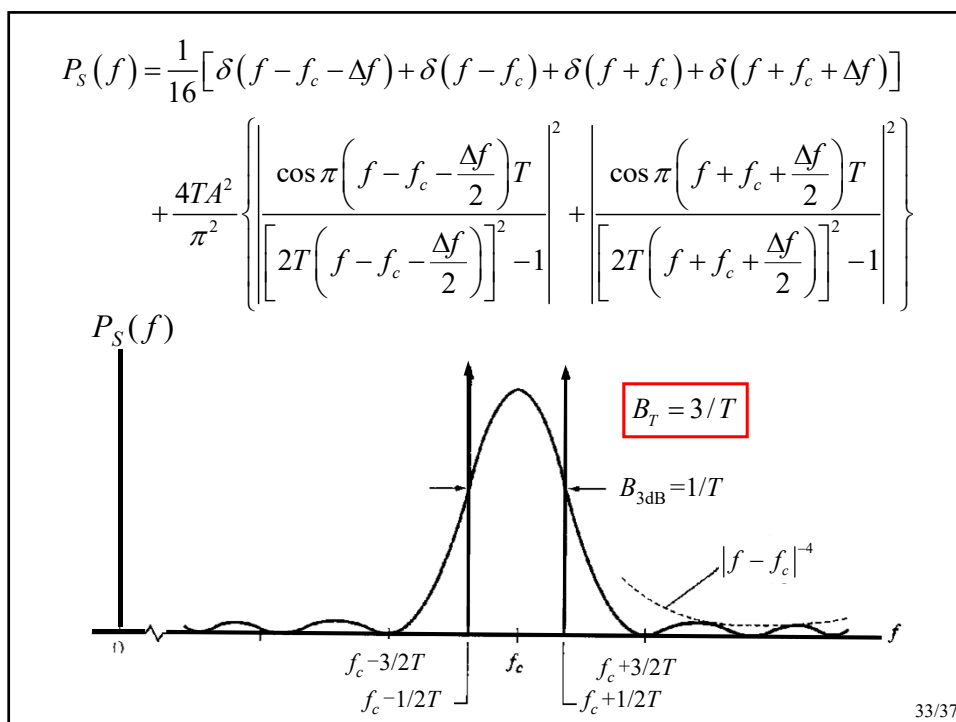
$$P_X(f) = \frac{1}{4} \left[\delta\left(f - \frac{\Delta f}{2}\right) + \delta\left(f + \frac{\Delta f}{2}\right) \right]$$

$$P_Y(f) = \frac{1}{T} |G_h(f)|^2$$

$$G_h(f) = \frac{2TA}{\pi} \left| \frac{\cos(\pi fT)}{(2Tf)^2 - 1} \right|$$

所以 $P_{lp}(f) = \frac{1}{4} \left[\delta\left(f - \frac{\Delta f}{2}\right) + \delta\left(f + \frac{\Delta f}{2}\right) \right] + \frac{4TA^2}{\pi^2} \left| \frac{\cos(\pi fT)}{(2Tf)^2 - 1} \right|^2$

32/37



7.1.7 正交FSK信号及其频率间隔

二个频率分别为 f_1 和 f_2 的正弦信号码元,

$$u_i(t) = \cos(2\pi f_i t + \varphi_i) \quad 0 \leq t \leq T, \quad i = 1, 2$$

相关系数定义为 $\rho = \frac{2}{T} \int_0^T u_1(t) u_2(t) dt$

其中被积项为

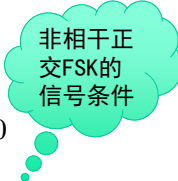
$$\begin{aligned} & \cos(2\pi f_1 t + \varphi_1) \cdot \cos(2\pi f_2 t + \varphi_2) \\ &= \frac{1}{2} \cos[2\pi(f_1 - f_2)t + \varphi_1 - \varphi_2] - \frac{1}{2} \cos[2\pi(f_1 + f_2)t + \varphi_1 + \varphi_2] \end{aligned}$$

和频项在 $(0, T)$ 上积分近似为零, 差频项积分为,


$$\begin{aligned} & \frac{1}{T} \int_0^T \cos[2\pi(f_1 - f_2)t + \varphi_1 - \varphi_2] dt \\ &= \frac{1}{T} \left[\frac{\sin[2\pi(f_1 - f_2)T + \varphi_1 - \varphi_2]}{2\pi(f_1 - f_2)} - \frac{\sin(\varphi_1 - \varphi_2)}{2\pi(f_1 - f_2)} \right] \end{aligned}$$

34/37

$$= \frac{1}{2\pi T(f_1 - f_2)} \left\{ \cos(\varphi_1 - \varphi_2) \sin[2\pi(f_1 - f_2)T] + \sin(\varphi_1 - \varphi_2) [\cos(2\pi(f_1 - f_2)T) - 1] \right\}$$

当 $\varphi_1 \neq \varphi_2$, 若 $\begin{cases} \sin[2\pi(f_1 - f_2)T]/2\pi T(f_1 - f_2) = 0 \\ \{\cos[2\pi(f_1 - f_2)T] - 1\}/2\pi(f_1 - f_2)T = 0 \end{cases}$ 

即 $|f_1 - f_2| = \frac{k}{T} \quad k = \pm 1, 2, \dots \Rightarrow u_1(t) \text{ 和 } u_2(t) \text{ 正交}$
 $u_1(t)$ 和 $u_2(t)$ 正交的最小频率间隔为 $1/T$

当 $\varphi_1 = \varphi_2$, 若 $\frac{\sin 2\pi(f_1 - f_2)T}{2\pi(f_1 - f_2)T} = 0$ 

即 $|f_1 - f_2| = \frac{k}{2T} \quad k = \pm 1, \pm 2, \dots \Rightarrow u_1(t) \text{ 和 } u_2(t) \text{ 正交}$
 $u_1(t)$ 和 $u_2(t)$ 正交的最小频率间隔为 $1/2T$

35/37

各种调制方式的频谱利用率比较

调制方式	频谱利用效率 (bps/Hz)
M 进制 ASK, PSK, DPSK, QAM	$0.5 \log_2 M$
MFSK (相干)	$\frac{2 \log_2 M}{(M + 3)}$
MFSK (非相干)	$\frac{\log_2 M}{(M + 1)}$

36/37

习 题

⊗ 7-1

⊗ 7-2

⊗ 7-4

37/37